

## ساخت الکترودهای درون گذر نانولوله کربنی و بررسی عملکرد آن در فرآیند یون‌زدایی خازنی

حسام الدین محمدی، علی بیت‌الهی، حسین سربولکی

دانشکده مهندسی مواد و متالورژی، دانشگاه علم و صنعت ایران

[beitolla@iust.ac.ir](mailto:beitolla@iust.ac.ir)

### چکیده:

در این پژوهش الکترودهای نانولوله ساخته شده به روش پرس پودر خشک با سطح ویژه  $241/19\text{m}^2/\text{g}$  در فرآیند یون‌زدایی خازنی مورد استفاده قرار گرفت. ظرفیت خازن ساخته شده با الکتروولیت دارای علاوه  $5.0\text{mM}$ ، ولتاژ اعمالی  $1/5\text{V}$ ،  $1/91\text{F}$  محاسبه گردید که با توجه به وزن الکترودها، ظرفیت خازنی ویژه  $9/71\text{F}/\text{g}$  برای نانولوله‌های استفاده شده به دست آمده است. با اندازه‌گیری مقدار جذب شده، بازده جذب الکترودهای نانولوله کربنی استفاده شده  $g/2/5\text{mg}/\text{g}\cdot\text{min}$  و همچنین بازده شارژ  $1/25\text{mg}/\text{g}\cdot\text{min}$  محاسبه گردید. در آزمون  $\text{CV}$  در خازنی ویژه‌ای که در ولتاژ بیشینه اعمالی ایجاد شده در حدود  $g/12\text{F}$  بوده است. در نتیجه آزمون طیف سنجی امپانس الکتروشیمیایی مقدار مقاومت سری  $R_s=71/11$  و مقاومت موازی  $R_p=233/9$  و ظرفیت خازن ایجاد شده  $\mu\text{F}/0$  بوده است.

### اطلاعات مقاله:

دربافت: ۲۴ فروردین ۱۳۹۴

پذیرش: ۲۰ شهریور ۱۳۹۴

### کلید واژه:

یون‌زدایی خازنی، نانولوله کربن، الکتروود درون گذر، امپانس الکتروشیمیایی

غشاء. در تمامی این روش‌ها انرژی بسیار زیادی مصرف می‌گردد تا نمک موجود در آب از آن جدا شود. به عنوان مثال یکی از روش‌های استفاده از غشاء، روش اسمز معکوس که به عنوان پرکاربردترین روش نمک‌زدایی مورد استفاده قرار گرفته است، نیازمند انرژی بسیار زیادی است تا آب با فشار بالا از درون غشاها غیر متخالخل عبور داده شوند [۲]. با توجه به این مشکلات در چند سال اخیر توجه پژوهش‌های بسیار زیادی بر روی روش یون‌زدایی خازنی<sup>۱</sup>

### ۱- مقدمه

امروزه مسئله تأمین آب سالم و انرژی دو چالش اساسی پیش روی جهان است. با توجه به محدودیت‌های موجود در منابع آب سالم شیرین، نمک‌زدایی از آب‌های لب شور و آب دریا جهت تأمین آب مورد نیاز برای مصارف مختلف، به عنوان راه حلی برای رفع مشکل کمبود آب در نظر گرفته شده است [۱]. امروزه روش‌های مختلفی در ابعاد صنعتی به فرایند نمک‌زدایی می‌پردازند؛ از جمله روش‌های حرارتی مبتنی بر تبخیر و نقطیر و یا روش‌های مبتنی بر استفاده از

<sup>۱</sup> Capacitive deionization



صورت اسفنجی به عنوان الکترودهای میان گذر استفاده شده‌اند که البته به علت دشواری در سنتز و ساخت درجای الکترودها با این روش شکل و اندازه الکترودها با مشکل مواجه بوده است [۱۲].

در این پژوهش سلول یون‌زدایی خازنی با الکترودهای نانولوله کربنی با استفاده از روش پرس پودر خشک و بدون استفاده از افزودنی ساخته شده و ویژگی‌های سلول ساخته شده با اندازه‌گیری میزان جذب نمک و میزان انرژی مصرفی هنگام فرایند شارژ و دشارژ خازن مورد مطالعه قرار گرفته شده است. همچنین ویژگی ریز ساختاری و هم چنین سطح ویژه و توزیع اندازه حفرات ناشی از فرایند ساخت الکترود مورد بررسی قرار گرفته است. در انتهای رفتار الکترو شیمیایی خازنی و همچنین امپدانس الکترو شیمیایی الکترود ساخته شده مورد آزمایش قرار گرفته است.

## ۲- فعالیت‌های تجربی

### ۱-۲- طراحی و ساخت سلول

در این پژوهش از نانولوله‌های چند دیواره تولید شده توسط شرکت نانوسیل استفاده شده است؛ (Nanocyl™ NC 7000) که با روش رسوب شیمیایی بخار (CVD) تهیه گردیده است. این محصول در بسیاری از پژوهش‌ها مورد استفاده قرار گرفته و شرکت سازنده از آن به عنوان نانولوله چند دیواره با بالاترین هدایت الکتریکی که در دسترس است نام برده. جدول ۱ برخی از مشخصات این نانولوله مورد استفاده که توسط شرکت سازنده ارائه گردیده را نشان می‌دهد.

تم مرکز گردیده است. در این روش با عبور آب حاوی نمک از درون یا از میان دو الکترود متخلخل، و با اعمال ولتاژ الکتریکی، یون‌های نمک درون آب جذب سطح الکترود متخلخل می‌گردد. انرژی مصرفی برای حذف یون‌ها در اثر تشکیل لایه مضاعف الکتریکی در سطح الکترودها، درون خازن تشکیل شده از این مجموعه ذخیره می‌گردد [۳] [۴]. پس از شارژ کامل خازن، با قطع ولتاژ اعمالی با آزاد شدن یون‌ها از سطح الکترود انرژی تحت عنوان جریان دشارژ توسط خازن تولید می‌گردد و آب خروجی در این مرحله حاوی مقادیر زیادی یون نمک بوده و به عنوان پساب در نظر گرفته می‌شود. با توجه به اینکه می‌توان از منبعی ثابت به غیر از منبع آب در حال یون‌زدایی به عنوان شست و شو دهنده استفاده نمود، مقدار پساب تولیدی بسیار ناچیز است [۵]. علاوه بر آن با توجه به اینکه یون‌ها در داخل الکترود باقی نمی‌مانند؛ برخلاف روش‌های غشایی که در آن‌ها به علت به دام افتادن یون‌ها، غشاها اشباع و فرسوده می‌گردند. به همین علت طول عمر الکترودهای استفاده شده در فرایند یون‌زدایی خازنی بسیار بالا است [۶].

مواد متخلخل کربنی مانند کربن فعال [۷]، کربن مزو متخلخل [۸]، اثروژل‌های کربنی و همچنین نانو ساختارهای کربنی مانند نانولوله‌های کربنی [۹] و گرافن [۱۰] به علت دارا بودن سطح ویژه بسیار بالا و همچنین به علت هدایت بالای الکتریکی، گزینه‌های بسیار مناسبی برای استفاده به عنوان الکترود در فرایند یون‌زدایی خازنی هستند [۱۱]. نانولوله‌های کربنی با استفاده از روش‌های CVD به



قرار داده شد. دو واشر سیلیکونی با ضخامت  $5\text{mm}$  بین مجموعه و صفحات پلاکسی قرار داده شد که در وسط این دو واشر مناسب با الکترودها، دایره‌هایی به قطر  $17\text{cm}$  و مربعی به ابعاد  $40\times 40\text{cm}$  پنجره‌هایی جهت عبور الکتروولیت برش داده شد. این واشرها جهت آب بندی سلول پس از فشرده شدن دو صفحه پلاکسی و هنگام عبور الکتروولیت استفاده خواهند شد. در صفحه پلاکسی بالای (اول) که الکتروولیت از آن وارد سلول می‌شود یک حوضچه برای تجمع الکتروولیت ایجاد شده که الکتروولیت به صورت یک پارچه، بعد از تجمع در حوضچه از درون الکترودها عبور کند. این حوضچه‌ها توسط دستگاه CNC در وسط صفحات پلاکسی کف تراشی گردیده و ابعاد و شکل حوضچه‌ها با توجه به الکترود استفاده شده دایره‌ای به قطر  $2\text{cm}$  و مربع‌هایی به ضلع  $2\text{cm}$  و  $5\text{cm}$  بوده است. عمق حوضچه‌ها در همه موارد  $2\text{cm}$  بوده است. در صفحه پلاکسی زیرین هیچ حوضچه‌ای قرار داده نشد و تنها به حد فاصل واشر و صفحه پلاکسی برای تجمع الکتروولیت قبل از خروج از سلول اکتفا شد. در وسط صفحات پلاکسی دو حفره به قطر  $4\text{mm}$  با لیزر ایجاد شد تا الکتروولیت از درون این حفره وارد سلول شده و از آن خارج گردد. جهت انتقال الکتروولیت از لوله‌های سیلیکونی با قطر خارجی  $5\text{mm}$  و قطر داخل  $2\text{mm}$  استفاده گردید که طول این لوله‌ها در قسمت ورودی و خروجی به ترتیب  $3\text{cm}$  و  $2\text{cm}$  بوده است. شانزده حفره به قطر  $1\text{mm}$  با فاصله  $5\text{mm}$  از لبه و از یکدیگر با لیزر در صفحات پلاکسی ایجاد گردید که محل قرارگیری پیچ‌ها خواهد بود. این مجموعه و صفحات پلاکسی توسط شانزده پیچ و مهره از جنس استیل ضد زنگ بر هم فشرده و

جدول ۱- مشخصات نانو لوله کربنی چند دیواره NC7000

مشخصه	واحد	مقدار	روش اندازه‌گیری
قطر میانگین	نانومتر	$9/5$	TEM
طول میانگین	میکرون	$1/5$	TEM
خلوص کربن	%	۹۰	TGA
اکسید فلزی	%	۱۰	TGA
کربن آمورف	-	-	HRTEM
سطح ویژه	$\text{m}^2/\text{g}$	$250-300$	BET

الکترودهای کربنی مناسب با شرایط در دو شکل و اندازه ساخته شدند که در قسمت‌های بعد به طور کامل به روش ساخت آن‌ها پرداخته خواهد شد. در مجموع الکترودهای نانو لوله کربنی به دو شکل ساخته شده‌اند، در حالت اول به شکل مربع با ابعاد  $10\times 10\times 2\text{cm}$  و در حالت دوم به شکل دایره با قطر  $2\text{cm}$  و با ضخامت  $1\text{cm}$  ساخته شدند. مناسب با هر یک از الکترودها از سلول مناسب استفاده گردیده است، بدین صورت که برای هر سلول دو الکترود بر روی توری استیل ضد زنگ با مش  $80^\circ$  قرار داده شد، توری‌ها به عنوان جمع کننده‌های جریان مورد استفاده قرار گرفته‌اند. ابعاد توری‌ها به صورت مربع‌های  $5\times 5\text{cm}$  و  $2\times 2\text{cm}$  بوده است و یک زائد از توری به طول  $2\text{cm}$  خارج گردیده که به عنوان اتصال دهنده توری و تأمین کننده اختلاف پتانسیل الکتریکی استفاده شده است. یک قطعه دی الکتریک به ابعاد  $2\times 2\text{cm}$  بین دو الکترود که بر روی توری اعمال شده‌اند قرار داده شد تا از اتصال کوتاه بین دو الکترود جلوگیری به عمل آورد. جنس دی الکتریک، کاغذ صافی با ضخامت حدود  $100\mu\text{m}$  انتخاب گردیده است. مجموعه ایجاد شده از فشرده شدن دو الکترود قرار گرفته شده بر روی توری و دی الکتریک بین آن دو بین  $5\times 5\times 4\text{cm}$  گلاس به ابعاد  $5\times 5\times 4\text{cm}$  دو صفحه از جنس پلاکسی

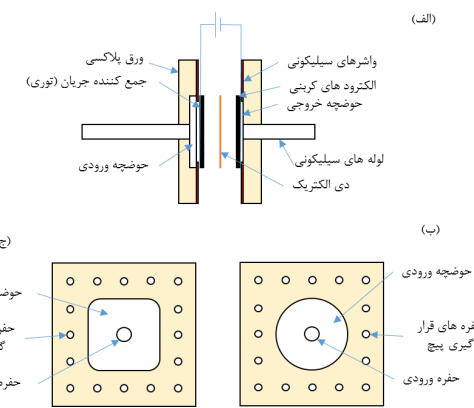


قالب ۱gr/۰ نانو لوله کربنی وارد قالب گردیده و توسط سنبه استوانه‌ای تحت پرس بر روی توری فلزی اعمال گردید. فشار پرس به صورت یک مرحله‌ای و سه مرحله‌ای در مقادیر ۲۵، ۵۰ و ۱۰۰ kg/cm<sup>2</sup> انتخاب و شرایط برای رسیدن به الکترود یکپارچه و بدون ترک ایجاد گردید. برای بررسی ویژگی‌های FESEM الکترود ساخته شده، ریز ساختار الکترودها توسط موردن بررسی قرار گرفت و همچنین سطح ویژه و توزیع اندازه حفرات با آزمون جذب و اجنب گاز نیتروژن و با روش BET و محاسبه گردید.

### ۳-۲- راهاندازی اولیه و بررسی رفتار با اسیلوسکوپ

در اولین مرحله پس از آماده شدن الکترودهای نانو لوله کربنی سلول یون زدایی با پارامترهای ثابت، راهاندازی گردید. بدین صورت که از کاغذ فیلتر صافی با ضخامت ۱۰۰ µm به عنوان دی الکتریک استفاده شد. الکتروولیت استفاده شده محلول سدیم کلرید ۵۰ mM (سدیم کلرید با خلوص بیشتر از ۹۹٪)، ولتاژ اعمالی ۱/۵V و دبی آب عبوری که با پمپ سرنگی به صورت دقیق کنترل گردیده ۵mL/min. انتخاب شد. در این مرحله هدف تنها بررسی رخ دادن فرایند شارژ و دشارژ بوده است که هنگام اعمال ولتاژ به سلول یک جریان ماسیمم شارژ ایجاد می‌گردد که به سرعت کاهش یافته و به صفر نزدیک می‌گردد که نشان‌دهنده تکمیل فرایند شارژ خازن است. در ادامه با قطع ولتاژ اعمالی دو سر سلول به یکدیگر اتصال کوتاه می‌گردد و همان روند شارژ ولی با مقادیر منفی ایجاد می‌شود که نشان‌دهنده مرحله دشارژ خواهد بود. برای بررسی این روند و تکرار پذیری آن در چرخه‌های مختلف تغییرات جریان بر حسب زمان توسط

محکم شدند. الکتروولیت توسط یک پمپ سرنگی (فناوران نانو مقیاس SP1000) با دبی ۵ ml/min وارد سلول شده است. ولتاژ اعمالی توسط یک تأمین‌کننده ولتاژ اعمال گردیده است. در شکل ۱ (الف) نمای کناری از یک سلول کامل نشان داده می‌شود، همچنین در قسمت (ب) و (ج) به ترتیب شماتیک از صفحه پلاکسی بالایی سلول با حوضچه‌های دایره‌ای و مربعی نشان داده شده است.



شکل ۱- (الف) نمای کناری از یک سلول کامل، (ب) و (ج) به ترتیب شماتیک از صفحه پلاکسی بالایی سلول با حوضچه‌های دایره‌ای و مربعی و (د) تصویر سلول.

### ۲-۲- ساخت الکترود نانو لوله کربنی

با توجه به عدم ایجاد شرایط مناسب الکترودها هنگام خشک شدن به علت انقباض شدید نانولوله‌های کربنی در هنگام خروج حلال [۱۳] و با توجه به مزایای عدم حضور چسب در الکترود، روش ساخت الکترود بدون چسب با استفاده از پرس پودر خشک انجام گرفت. در این روش از یک قالب پرس استوانه‌ای با قطر داخلی ۲cm به صورت ابتدا و انتهایی باز، استفاده گردید. توری استیل ۲×۲cm پس از تمیز شدن با الكل و حذف آلودگی سطحی در انتهای قالب چسبانده شده و قالب بر روی سطح فلزی صاف قرار داده شد. از سر دیگر



نانولوله‌ها کاملاً در هم تبیده و متراکم هستند و به همین علت است که هنگام عبور آب از درون الکتروود، کندگی و رهاشدگی نanolوله‌ها رخ نمی‌دهد. علاوه بر این در تصویر حفرات در حدود  $50\text{ nm}$  دیده می‌شود که از کنار هم قرار گرفتن نanolوله‌ها به وجود آمده‌اند. این حفرات و دیگر حفرات نسبتاً بزرگ عامل به وجود آمدن قابلیت عبور دهی آب در الکتروود هستند. به عبارت دیگر آب از درون این حفرات و فواصل، از درون الکتروود عبور می‌کند. حفرات و فواصل بسیار کوچک‌تری نیز از کنار هم فشرده شدن نanolوله‌ها به وجود آمده که در فرایند CDI و جذب یون شرکت خواهند کرد. همچنین مشاهده می‌گردد که به هنگام فرایند پرس به هیچ یک از نanolوله‌ها آسیب نرسیده است و اثری از نانولوله شکسته مشاهده نمی‌گردد. علاوه بر این در قسمت (ج) تصویر نanolوله‌ها با میکروسکوپ الکترونی عبوری TEM مشاهده می‌گردد.

جهت بررسی دقیق تر حفرات ایجاد شده در فواصل بین نanolوله‌ها در اثر فرایند ساخت و همچنین مقدار سطح ویژه قابل دسترس از الکتروود پرس شده، آزمون جذب و واجدب گاز نیتروژن گرفته شد. در بررسی توزیع حفرات به روش BJH در تأیید تصاویر SEM توزیعی از حفرات دیده می‌شود که بیان گر ایجاد کانال‌ها و حفرات در اثر کنار هم فشرده شدن نanolوله‌ها است. در این روش با افزایش فشار گاز نیتروژن و اندازگیری مقدار گاز جذب شده سطح ویژه و حجم حفرات محاسبه می‌گردد و همچنین با استفاده از یک مدل سازی ریاضی و با شبیه‌سازی و در نظر گرفتن حفرات به صورت استوانه‌ای توزیعی از اندازه حفرات ۱ تا  $100$  نانومتر به دست می‌آید. در شکل ۳ نمودار توزیع حفرات BJH برای الکتروود

(GW INSTEK GDS-1102U) مورد بررسی قرار گرفت. با توجه به آنکه اسیلوسکوپ تنها تغییرات ولتاژ بر حسب زمان را نشان می‌دهد در مسیر مدار سلول و منبع تغذیه ولتاژ یک مقاومت  $15\ \Omega$  اهمی قرار داده شد و تغییرات ولتاژ دو سر مقاومت توسط اسیلوسکوپ اندازه‌گیری و نمودار ولتاژ بر حسب زمان در چند سیکل شارژ و دشارژ ثبت گردید.

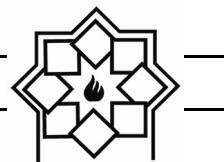
## ۴-۲- آزمون‌های الکتروشیمیایی

جهت انجام آزمون‌های الکتروشیمیایی از محلول سدیم کلرید با غلظت  $1\text{ M}$  استفاده گردید. آزمون ولتمتری چرخه‌ای در سرعت‌های  $5\text{ mV/s}$  و  $10\text{ mV/s}$  انجام گرفت و در مواردی سرعت‌های  $50\text{ mV/s}$  و  $100\text{ mV/s}$  نیز انجام شد و همچنین دامنه پنجره ولتاژ،  $0$  تا  $1$  ولت انتخاب گردید. برای انجام آزمون امپدانس الکتروشیمیایی بازاره فرکانس  $50.0\text{ KHz}$  تا  $500\text{ KHz}$  انتخاب شد. تغییرات ولتاژ مناسب با ولتاژ مدار باز سلول انتخاب گردید.

## ۳- نتایج و بحث

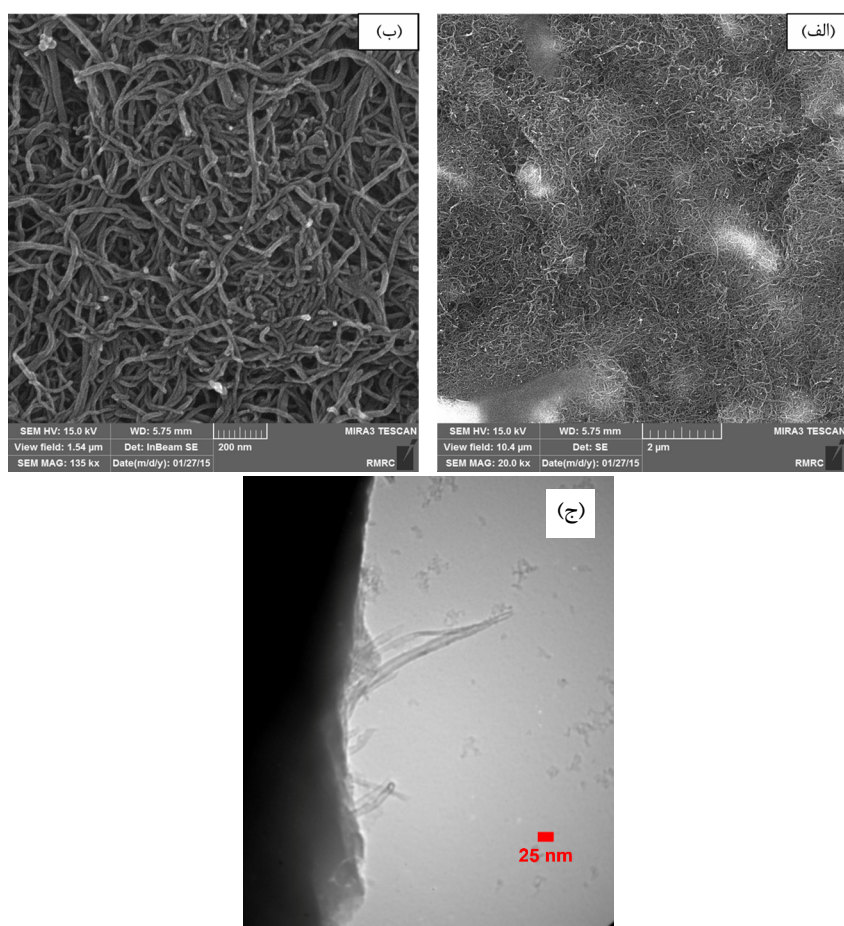
### ۱-۳- ساخت الکتروود نانولوله کربنی

برای بررسی ریزساختار الکتروود پس از اعمال پرس و مشاهده وضعیت نanolوله‌ها، نمونه با میکروسکوپ الکترونی روبشی (FESEM) مورد مطالعه قرار گرفت. شکل ۲- تصویر FESEM الکتروود نانولوله کربنی را پس از اعمال فشار پرس در دو بزرگنمایی نشان می‌دهد. همان‌گونه که در تصویر با بزرگنمایی کم مشاهده می‌گردد نanolوله‌ها در هم فشرده و یک پارچه هستند و همچنین از یکنواختی مناسبی برخوردار است. در بزرگنمایی بالا دیده می‌شود که

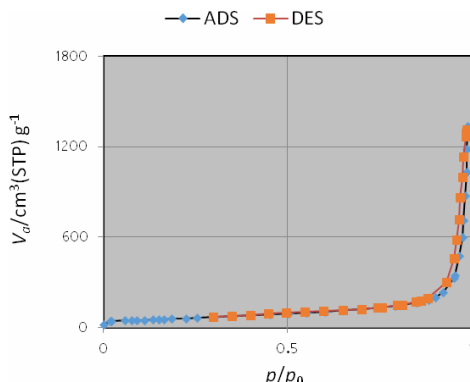
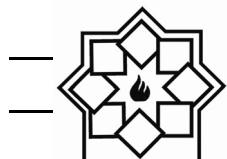


در الکترولیت. علاوه بر این یک پیک بسیار قوی در شعاع  $1/6\text{nm}$  وجود دارد که احتمالاً علاوه بر حفرات و فواصل بسیار کوچک ایجادشده بین نانولوله‌ها حفرات درون نانولوله‌های کربنی را نیز شامل شده است زیرا گاز نیتروژن قابلیت دسترسی به این حفرات در درون نانو لوله را دارد. این حفرات با قطر حفره در حدود ۳ نانومتر شرایط بسیار مناسبی را در فرایند یون‌زدایی خازنی ایجاد می‌کنند. زیرا همان‌گونه که در فصل دوم بیان شد، حفرات با این ابعاد باعث روی هم قرارگیری دو لایه مضاعف الکتریکی EDL روبروی هم می‌شود که ظرفیت خازنی و ظرفیت جذب را افزایش می‌دهد.

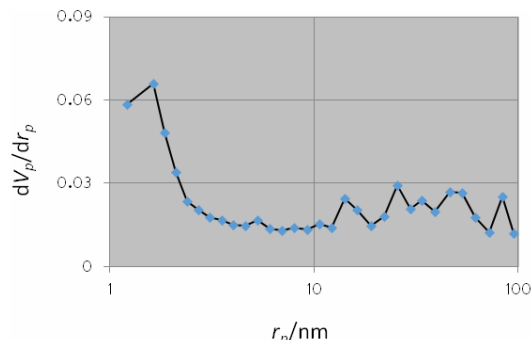
پرس شده نانو لوله کربنی دیده می‌شود. همان‌گونه گه مشاهده می‌شود پیک‌هایی با ابعادی شعاع  $80\text{ nm}$  و  $50\text{ nm}$  و  $25\text{ nm}$  وجود دارد که مربوط به حفرات ماکرو با اندازه بزرگ‌تر از  $50\text{ nm}$  می‌باشد که این حفرات به خوبی در تصاویر FESEM قابل مشاهده هستند. علاوه بر این پیک‌ها، یک پیک دیگر در شعاع  $15\text{ nm}$  قرار دارد که آن نیز مربوط به فواصل ایجادشده در بین نانولوله‌های در هم فشرده‌شده است. مجموعه این حفرات قابلیت عبور دهی آب از درون الکترون را ایجاد می‌کند و توزیع مناسبی است برای در دسترس قرار گرفته شدن سطوح نانولوله‌های کربنی برای یون‌های موجود



شکل ۲- تصاویر FESEM الکترودهای نانو لوله کربنی ساخته شده با استفاده از پرس پودر خشک، (الف) نمای کلی در بزرگنمایی  $20\text{ K}$  برابر، (ب) بزرگنمایی  $135\text{ k}$  برابر، (ج) تصویر TEM از نانولوله‌ها.



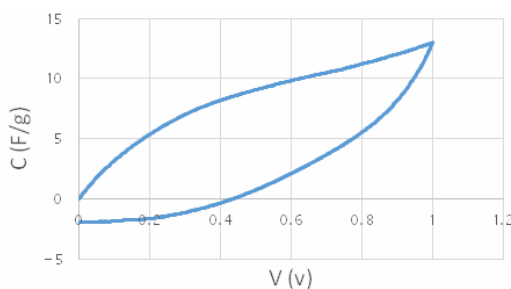
شکل ۴- نمودار ایزوترم جذب و واجدب گاز نیتروژن برای الکترود نانو لوله کربنی پرس شده



شکل ۳- نمودار توزیع حفرات BJH برای الکترودهای نانولوله کربنی پرس شده.

### ۲-۳- آزمون‌های الکتروشیمیایی

الکترودهای نانولوله کربنی توسط روش CV مورد آزمایش قرار گرفته‌اند. آزمایش با الکتروولیت ۱ مولار و نرخ روش ۵۰، ۱۰۰ و ۱۰ mV/s انجام پذیرفت. با توجه به اینکه نتایج انجام گرفته شده در نرخ‌های پایین‌تر به رفتار خازنی نزدیک‌تر بوده است، نمودار حاصل از نرخ رویش ۱۰ mV/s مورد بررسی قرار گرفت. با تقسیم مقادیر جریان ایجاد شده بر نرخ رویش مقادیر ظرفیت در هر ولتاژ اعمال می‌گردد و با تقسیم این عدد بر وزن نانولوله‌های مصرف شده در الکترود، نمودار به صورت ظرفیت ویژه بر حسب ولتاژ اعمالی رسم گردیده است. شکل ۵ نمودار CV الکترود نانولوله کربنی را در الکتروولیت ۱ مولار نشان می‌دهد.



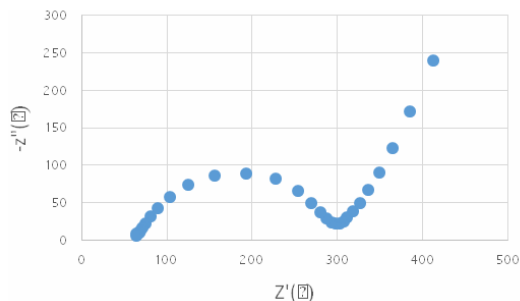
شکل ۵- نمودار CV الکترود نانولوله کربنی با الکتروولیت ۱ مولار و در نرخ رویش ۱۰ mV/s

نمودار جذب و واجدب گاز نیتروژن برای الکترود نانولوله کربنی پرس شده نیز در شکل ۴ قابل مشاهده است. جذب گاز در فشارهای بالا رخ داده است و همچنین فاصله نمودار واجدب کم بوده و هیسترزیس کوچکی ایجاد گردیده است که علت آن نوع حفرات ایجاد شده در مجموعه است. در مواد متخلخل کربنی مانند مزومتخلخل‌ها و کربن اکتیو حفرات در درون ماده و با تقریر مثبت هستند و گاز درون حفرات به دام افتاده در حالی که حفرات در نانولوله‌های کربنی بیشتر در فواصل بین نانولوله‌ها بوده و دارای تقریر منفی، در نتیجه در فشارهای بالا گاز جذب سطوح خارجی نانولوله‌ها شده و به کم شدن فشار از روی سطوح آزاد می‌گردد.

سطح ویژه الکترودهای نانولوله کربنی محاسبه شده با روش BET و BJH به ترتیب  $216/71 \text{ m}^2/\text{gr}$  و  $241/4 \text{ m}^2/\text{gr}$  بوده است که با توجه به مقادیری که شرکت سازنده اعلام کرده، در فرایند ساخت الکترود سطح ویژه از دست نرفته است. حجم کل تخلخل نیز  $2/00 \text{ m}^3/\text{gr}$  بوده که مقدار بسیار بالایی می‌باشد و علت آن حضور حفرات بزرگ ماکرو با ابعادی بین ۵۰ تا ۱۰۰ نانومتر می‌باشد.



الکترود نانو لوله کربنی در شکل ۶ مشاهده می‌گردد. مقادیر مقاومت‌ها و خازن ایجادشده توسط نرم‌افزار Zview محاسبه گردید. مقدار مقاومت سری  $R_s = 71/11$  و مقاومت موازی  $R_p = 233/9$  و ظرفیت خازن ایجاد شده  $F = 5\mu\text{F}/0$  بوده است. با بررسی دیگر پژوهش‌ها مشاهده می‌گردد که الکترودهایی که برای این آزمون ساخته شده‌اند به نحوی تهیه می‌گردند که مقاومت الکترود ساخته شده بسیار کم و در حدود چند ده اهم باشد [۱۵].



شکل ۶- نمودار نایکوئیست الکترودهای نانو لوله کربنی

#### ۴- نتیجه‌گیری

الکترودهای ساخته شده به روش پرس پودر خشک، از شرایطی کاملاً مناسب برای استفاده به عنوان الکترود درون گذرنانولوله CDI بخوردار گردید. به گونه‌ای که الکترود کاملاً یک پارچه و بدون هیچ‌گونه عیب و یا ترک حاصل شده و اتصال الکترود و توری فلزی به عنوان جمع کننده جریان بسیار مستحکم و قابل قبول بوده است. سطح ویژه الکترودهای نانولوله‌های لوله کربنی ساخته شده ۲۴۱/۴  $\text{m}^2/\text{g}$  اندازه‌گیری شده است همچنین حجم کل تخلخل نیز  $2/00 \text{ m}^3/\text{gr}$  بوده که مقدار بسیار بالایی می‌باشد و علت آن حضور حفرات بزرگ مacro با ابعادی بین ۵۰ تا ۱۰۰ نانومتر می‌باشد. سلول راهاندازی شده با الکترودهای

همان طور که مشاهده می‌گردد نمودار از حالت خازنی ایده آل (نزدیک به شکل مربعی) خارج گردیده و به حالت بیضوی در آمده است. دلیل فاصله گرفتن از حالت ایده آل مقاومت الکتریکی الکترود است که در این مورد با توجه به بالا بودن هدایت الکتریکی نانولوله‌ها احتمالاً روش ساخت الکترود که در آزمایش استفاده شده باعث ایجاد این رفتار مقاومتی گردیده است. در مجموع ظرفیت خازنی ویژه‌ای که در ولتاژ بیشینه اعمالی ایجادشده در حدود  $12\text{ F/g}$  بوده است که با ظرفیت خازنی ویژه‌ای که در روش مطالعه مستقیم الکترود در سلول CDI انجام گرفت هم خوانی و مطابقت داشته دارد.

علاوه بر این از الکترود نانو لوله کربنی آزمون امپدانس الکتروشیمیایی نیز گرفته شد. مدار معادلی که برای این گونه الکترودها شبیه‌سازی می‌شود، شامل یک خازن و دو مقاومت، یکی به صورت موازی با خازن و دیگری به صورت سری می‌باشد. مقاومت سری مربوط به مجموعه مقاومت‌های اهمی غیر از خود الکترود است که مقاومت محلول الکترولیت و مقاومت ایجادشده در اتصالات ساخت الکترود خواهد بود ( مقاومت ناشی از شیشه FTO و چسب دو طرفه کربن). مقاومت موازی با خازن مقاومت الکتریکی خود خازن می‌باشد. یک ناحیه خطی در نمودار نایکوئیست وجود دارد که به آن خط واربورگ<sup>۱</sup> گفته می‌شود که مربوط به نفوذ یون‌ها از الکترولیت به داخل الکترود می‌باشد بدین گونه که هر چه این خط بلند‌تر باشد (در یک بازه فرکانس) مقاومت به نفوذ در الکترود بیشتر است [۱۴]. نمودار نایکوئیست گرفته شده از آزمون امپدانس الکتروشیمیایی

<sup>1</sup> Warburg line

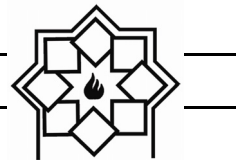


- 1388–1442, Oct. 2013.
- [4] M. E. Suss, S. Porada, X. Sun, P. M. Biesheuvel, J. Yoon, and V. Presser, "Water desalination via capacitive deionization: what is it and what can we expect from it?," *Energy Environ. Sci.*, vol. 8, no. 8, pp. 2296–2319, 2015.
- [5] Y. Oren, "Capacitive deionization (CDI) for desalination and water treatment — past, present and future (a review)," *Desalination*, vol. 228, no. 1–3, pp. 10–29, Aug. 2008.
- [6] M. a. Anderson, A. L. Cudero, and J. Palma, "Capacitive deionization as an electrochemical means of saving energy and delivering clean water. Comparison to present desalination practices: Will it compete?," *Electrochim. Acta*, vol. 55, no. 12, pp. 3845–3856, Apr. 2010.
- [7] P. Taylor, L. Chang, Y. Yu, X. Duan, W. Liu, L. Chang, Y. Yu, X. Duan, and W. Liu, "Capacitive Deionization Performance of Activated Carbon Electrodes Prepared by a Novel Liquid Binder Capacitive Deionization Performance of Activated Carbon Electrodes Prepared by a Novel Liquid Binder," *Sep. Sci. Technol.*, no. July, pp. 37–41, 2013.
- [8] C. Tsouris, R. Mayes, J. Kiggans, K. Sharma, S. Yiakoumi, D. Depaoli, and S. Dai, "Mesoporous Carbon for Capacitive Deionization of Saline Water," pp. 10243–10249, 2011.
- [9] K. Dai, L. Shi, J. Fang, D. Zhang, and B. Yu, "NaCl adsorption in multi-walled carbon nanotubes," *Mater. Lett.*, vol. 59, pp. 1989–1992, 2005.
- [10] H. Li, L. Pan, T. Lu, Y. Zhan, C. Nie, and Z. Sun, "A comparative study on electrosorptive behavior of carbon nanotubes and graphene for capacitive deionization," *J. Electroanal. Chem.*, vol. 653, no. 1–2, pp. 40–44, 2011.
- [11] Y. Liu, C. Nie, X. Liu, X. Xu, Z. Suna, and L. Pan, "Review on carbon-based composite materials for capacitive deionization," *RSC Adv.*, vol. 4, pp.

نانو لوله کربنی، به خوبی فرایند شارژ و ذخیره‌سازی انرژی و پس از آن فرایند دشارژ و رهایش انرژی را انجام داده است. ظرفیت خازن ساخت شده با الکترولیت  $5.0\text{ mM}$  ولتاژ اعمالی  $1/5\text{ V}$ ،  $1/94\text{ F}$  محاسبه شده است که با توجه به وزن الکترودها، ظرفیت خازنی ویژه  $9\text{ F/g}$  برای نانولوله‌های استفاده شده به دست آمده است. با اندازه‌گیری مقدار نمک جذب شده، و با اندازه‌گیری تغییرات غلظت یون‌ها با اعمال ولتاژ الکتریکی، بازده جذب الکترودهای نانو لوله کربنی استفاده شده  $2/5\text{ mg/g}\cdot\text{min}$  و بازده زمانی آن  $1/25\text{ mg/g}\cdot\text{min}$  و همچنین بازده شارژ  $26\text{ mg/C}$  محاسبه گردید. مقدار نمک جذب شده در شارژ اول  $8/57\text{ mM}$  بوده است که در شارژ‌های بعدی که با عبور مجدد الکترود عبوری از درون سلول ایجاد گردیده، مقدار جذب به تدریج کاهش یافته و به  $4/13\text{ mM}$  رسیده است. در نتیجه آزمون‌های الکتروشیمیایی، ظرفیت خازنی ویژه‌ای که در ولتاژ بیشینه اعمالی ایجاد شده در حدود  $12\text{ F/g}$  بوده است و مقدار مقاومت سری  $R_s = 233/9$  و مقاومت موازی  $R_p = 21/11$  و ظرفیت خازن ایجاد شده  $5\mu\text{F}/\text{g}$  محاسبه گردید.

## مراجع

- [1] F. a. AlMarzooqi, A. a. Al Ghaferi, I. Saadat, and N. Hilal, "Application of Capacitive Deionisation in water desalination: A review," *Desalination*, vol. 342, pp. 3–15, 2014.
- [2] R. Semiat, "Energy issues in desalination processes," *Environ. Sci. Technol.*, vol. 42, no. 22, pp. 8193–8201, 2008.
- [3] S. Porada, R. Zhao, a. van der Wal, V. Presser, and P. M. Biesheuvel, "Review on the science and technology of water desalination by capacitive deionization," *Prog. Mater. Sci.*, vol. 58, no. 8, pp.



1166–1169, 2015.

- [12] L. Wang, M. Wang, Z.-H. Huang, T. Cui, X. Gui, F. Kang, K. Wang, and D. Wu, “Capacitive deionization of NaCl solutions using carbon nanotube sponge electrodes,” *J. Mater. Chem.*, vol. 21, no. 45, p. 18295, 2011.
- [13] K. Dai, L. Shi, D. Zhang, and J. Fang, “NaCl adsorption in multi-walled carbon nanotube/active carbon combination electrode,” *Chem. Eng. Sci.*, vol. 61, no. 2, pp. 428–433, Jan. 2006.
- [14] T. Cai, W. Xing, Z. Liu, J. Zeng, Q. Xue, S. Qiao, and Z. Yan, “Superhigh-rate capacitive performance of heteroatoms-doped double shell hollow carbon spheres,” *Carbon N. Y.*, vol. 86, pp. 235–244, 2015.
- [15] H. K. Mutha and E. N. Wang, “Carbon Nanotube Electrodes for Capacitive Deionization,” MASSACHUSETTS INSTITUTE OF TECHNOLOGY, 2013.